

Walsh-Hadamard, Haar 関数による高速 X 線断層像合成

佐藤一弘⁺ 吉本千禎⁺ 吉村光夫⁺⁺
⁺北海道大学 応用電気研究所 ME 部門 ⁺⁺国際情報社会科学研究所

1. まえかき

X 線と計算機を用いた全く新しい断層像撮影法 (Computed Tomography; CT) は, 近年放射線医学の分野で大きな関心をもたれ, 急速に普及しつつある。

CT では人体各部の断面の X 線吸収係数の 2 次元分布を, 多方向の射影データ (1 次元) から計算機を用いて再合成する。

CT による断層像再合成では像再合成のアルゴリズムが重要な役割をほたし, これには単純加算法 (単純逆投影法), マトリクス法, 逐次近似法 (Algebraic Reconstruction Technique; ART), フーリエ変換法, Filtered Back Projection 法 (FBP 法と略記する) および FBP 法におけるフィルタ処理を実空間でコンボリューション (cyclic convolution) 演算で行なうコンボリューション法 (重ね合わせ法) などがある^{(1)~(8)}。

さて, 現在 CT における問題はいろいろあるが, 1 つに測定の高速度化とともに像再生アルゴリズムの高速度化がある。現在のところ処理速度, 再合成像の質, および計算機の使用メモリなどの点から最も優れているのは総ての計算が実空間で実行できるコンボリューション法であると言われている^{(1),(2),(4),(7)}。

コンボリューション法 (FBP 法) では射影に対する補正関数のコンボリューション演算と, 処理後の射影データの逆投影の計算過程の 2 つがある。これらは全射影数 (測定方向数で, 180 方向が多し) だけの計算回数と必要とし, 各々の計算量は非常に多いため, 両方ともかなりの計算時間を必要とする。

本論文は, 上述の 2 つの計算過程のうち, FBP 法におけるフィルタ処理に

対して新しく Walsh-Hadamard, Haar の 2 種の直交変換を用いて計算の高速度化を計り, コンボリューション法あるいはそれをフーリエ空間で行なうフーリエフィルタ処理法 (FBP 法) よりもさらに高速度な断層像合成の可能性を検討したものである。

2. 逆投影による断層像合成

多数の射影データ (1 次元) から 2 次元画像を近似的に再現する最も簡単な方法は, 各射影をそのままの方向に投影 (back projection; 以下逆投影と略記する) し, 加算する方法である (単純加算法)。しかしながら, この様な方法により得られる画像は原画像とはかなり異なり, 原画像に $1/r$ なる 2 次元の重み関数でぼかした画像となる。ここで r は半径方向の距離である。今, 原画像を f , 上述の単純加算法により得られる像を g とすると, g は f と $1/r$ とのコンボリューションで表わされる。

$$g = f * \frac{1}{r} \quad (1)$$

* はコンボリューション演算を表わす。

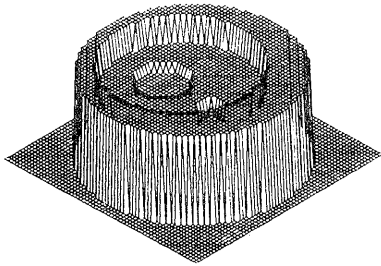
このことを周波数空間で考えると, 上記原画像 f および合成像 g の 2 次元フーリエ変換を $F(\omega, \theta)$, $G(\omega, \theta)$ (極座標で表わす) とすると, G は式 (2) で表わされる。

$$G = F \cdot \frac{1}{|\omega|} \quad (2)$$

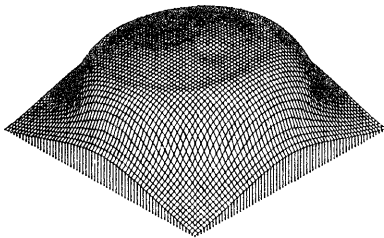
これらの式の詳細な導出については種々の文献がある^{(1)~(8)}, ここでは省略する。

式 (2) から, 単純加算法により得られる画像 G は, 原画像 F に対して $1/|\omega|$ なるフィルタ (低周波ほど増強される

一種の低域通過フィルタである)をかけた画像となり、低域が強調されるため、非常にぼけた画像となる。この様な単純加算法による例を図1に示す。図1では1°毎180本の射影を単に逆投影し加算しただけであり、原画像とは非常に異なっている。



A; Original image



B; Reconstructed image

Fig. 1. Example of reconstructed image by simple back projection method using 180 projections and without filtering process, $N^2 = 64 \times 64$.

正しい画像を復元するためには式(1)あるいは式(2)から、逆投影像に対して $|\omega|$ のフィルタ処理を行なうか、あるいは、それを実空間で近似した補正関数をコンボリューション演算すればよい。

上述の方法では逆投影を行なった後の画像に対して2次元のフィルタ処理(あるいは2次元コンボリューション演算)を行なうが、もう一つ別な方法と

して逆投影を行なう前の各射影データに対して1次元のフィルタ処理(あるいはコンボリューション演算)を行なう方法がある^{(2),(3),(13)~(17)}。現在のところ、この後者の方法のうち1次元コンボリューション演算を用いる方法が最も多く用いられている様である。これは他の方法(ARTその他)に比べて画質が良いこと、すべての演算が実空間で行なえること、またコンボリューション演算はフーリエ変換によるフィルタ処理の場合の様な複素数を使わなければならないこと、FFT(Fast Fourier Transform)^{(17),(18)}を用いる時に生じるサンプリング誤差に付いての制限(2^n)が無いことなどによるものと思われる。しかしながら筆者らは計算速度および $|\omega|$ の周波数フィルタを実空間へ変換する際に起こる近似誤差の問題が生じたりすることなどから、周波数空間におけるフィルタ処理の方が有利であると考えている。さらにここで述べる直交関数を使うことにより、FFT、コンボリューション演算よりも大巾な計算時間の短縮が計れ、また直交変換の計算においてはFFTの様な複素数および乗算を使用せず実数の加減算で済むためミニコンピュータでも十分その利便が生かせる。

周波数 $|\omega|$ のフィルタ(補正関数)については再合成像の画質に直接影響するため、種々の研究がある^{(2),(15)~(17)}。これらのフィルタはほとんどすべて実空間のコンボリューションフィルタ(補正関数)の形で用いられている。本論文では比較のため、Ramachandran⁽²⁾およびChesler⁽¹⁷⁾のフィルタと、筆者らが実験的に高速計算を目的として求めたフィルタの3種を取り上げた。これらのフィルタの周波数特性を図2に示す。

ここではフーリエ空間でのフィルタ処理と同様演算をWalsh-Hadamard, Haarの各直交空間で行なう方法と、各直交空間の間のフィルタ係数行列の関係を導く。また、フーリエ空間におけるフ

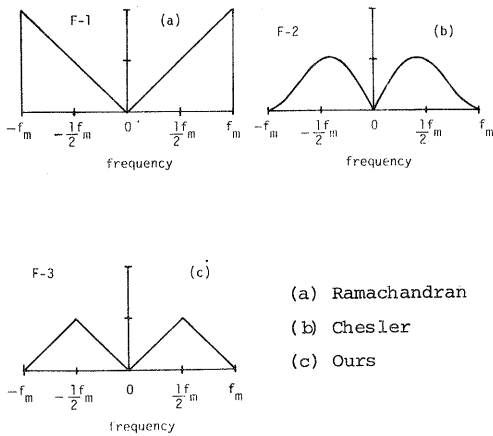


Fig. 2. Frequency domain plot of three different filter functions.

フィルタ演算が実空間でコンボリューション (cyclic convolution) で表わせる様に、Walsh-Hadamard におけるフィルタ演算も実空間でコンボリューション (logical convolution) で表わせる⁽¹²⁾。

2.1 Walsh-Hadamard 変換による処理

処理を行なう射影データ系列ベクトル x で表われ、フーリエ、Walsh の各直交行列を F , W とする。ここで F , W は正規化行列とし、 F 行列の要素は式 (3) で与える。

$$F_{j,k} = \frac{1}{\sqrt{N}} \exp(-i \frac{2\pi}{N} jk) \quad (3)$$

$$j, k = 0, 1, 2 \dots N-1, \quad i = \sqrt{-1}$$

F は複素行列である。

Walsh 行列は一般に order のちがひにより了種に分類される。これらは各々、Walsh order (sequency order), Hadamard order (natural order), Paley order (dyadic order) と呼ばれてあり^{(13), (14)}、以下の式において W の代りにおき換えればよいので、以下 Walsh order との関係を進めて行く。また、ここでは Walsh と Hadamard 行列を取り上げる。8 次の Walsh 関数の連続関数形の例を図3に示す。図3で sequency は

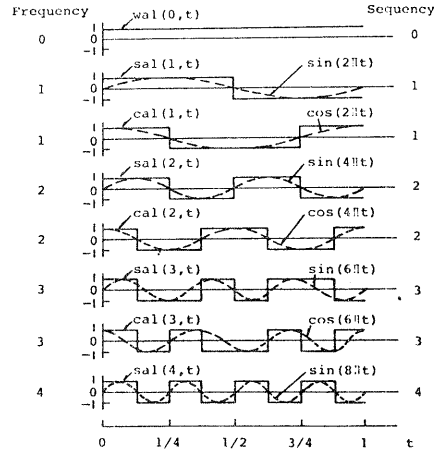


Fig. 3. First eight continuous Walsh functions and Fourier harmonics.

frequency に対応するものであり、単位時間内の零交叉数の $1/2$ である。また、 $wal(0,t)$ は直流成分に、 $sal(i,t)$ は sine 関数、 $cal(i,t)$ は cosine 関数に対応する。また、図3の離散関数形である 8 次の Walsh および Hadamard 行列を図4に示す。

$$W^{(8)} = \frac{1}{\sqrt{8}} \begin{bmatrix} 1 & 1 & 1 & 1 & 1 & 1 & 1 & 1 \\ 1 & 1 & 1 & -1 & -1 & -1 & -1 & -1 \\ 1 & 1 & -1 & -1 & -1 & 1 & 1 & 1 \\ 1 & 1 & -1 & 1 & -1 & 1 & -1 & -1 \\ 1 & -1 & -1 & 1 & 1 & -1 & -1 & 1 \\ 1 & -1 & 1 & 1 & -1 & -1 & 1 & -1 \\ 1 & -1 & 1 & -1 & -1 & 1 & 1 & -1 \\ 1 & -1 & -1 & -1 & 1 & 1 & -1 & 1 \end{bmatrix}$$

(a) Walsh ordered

$$H^{(8)} = \frac{1}{\sqrt{8}} \begin{bmatrix} 1 & 1 & 1 & 1 & 1 & 1 & 1 & 1 \\ 1 & -1 & 1 & -1 & 1 & -1 & 1 & -1 \\ 1 & 1 & -1 & -1 & 1 & 1 & -1 & -1 \\ 1 & -1 & -1 & 1 & 1 & -1 & -1 & 1 \\ 1 & 1 & 1 & 1 & -1 & -1 & -1 & -1 \\ 1 & -1 & 1 & -1 & -1 & 1 & -1 & 1 \\ 1 & 1 & -1 & -1 & -1 & 1 & 1 & -1 \\ 1 & -1 & -1 & 1 & -1 & 1 & -1 & -1 \end{bmatrix}$$

(b) Hadamard ordered

Fig. 4. Discrete Walsh-Hadamard functions, $N = 8$.

フーリエ空間でのフィルタ行列を G_F , Walsh でのそれを G_W とすると, フィルタ処理後の結果 Y は式 (4), (5) で表わせる。

$$Y_F = F^{-1} G_F F X \quad (4)$$

$$Y_W = W^{-1} G_W W X \quad (5)$$

ただし Y の添字は処理を行なった空間を示す。ここで処理後の結果が等しいという仮定のもとに G_F と G_W の関係を求めると, 式 (6) の様になる。

$$F^{-1} G_F F = W^{-1} G_W W \quad (6)$$

Walsh 行列は対称行列であるから, $W^{-1} = W$ となる (Hadamard, Paley⁽¹³⁾⁽¹⁴⁾ も同じである)。式 (6) から G_W 又は G_F は各々次の様になる。

$$G_W = W \cdot F^{-1} G_F F \cdot W = B^* G_F B \quad (7)$$

$$G_F = F \cdot W \cdot G_W W \cdot F^{-1} = B \cdot G_W B^* \quad (8)$$

ただし $B = F \cdot W$ とおき, B^* は B の complex conjugate transpose を表わす。

一般に, フーリエ変換によるフィルタ処理では, フーリエスペクトラムの個々の要素(周波数成分)に対して重み係数を乗ずることによりフィルタ処理を行なうため, フーリエフィルタ行列 G_F は主対角要素1のみ値をもつ行列 (scalar filter) となる。Walsh 変換によるフィルタ処理においても同様の処理がある (sequency scalar filter) が, フーリエフィルタと同一の結果は得られない。同一の結果を得るため, 式(7) から得られる行列 G_W は, 主対角要素以外にも値をもつフィルタ行列(ベクトルフィルタ)になる場合が多い。これは図に示した様に, フーリエと Walsh 関数のちがひから来るものである。逆に言うと, Walsh フィルタ行列が主対角のみ値をもつ行列であっても, 対応する行列 G_F はスカラフィルタ行列にならなはいはが多い。式(7), (8)

から, フーリエ空間でフィルタ係数を与えれば Walsh 空間で等価な係数行列が得られ, 逆も可能である。

Walsh-Hadamard 変換に対しても FFT と同様に Cooley-Tukey 形の高速度変換アルゴリズム $N \log_2 N$ FWHT (Fast Walsh-Hadamard Transform) がある^{(13),(14),(16)}。

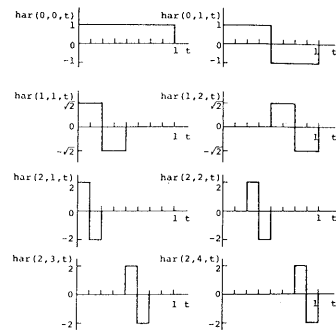
その場合, サンプル数 N に対して演算は $N \log_2 N$ の加減算で済むため, 複素数の乗算を用いる FFT に比べてかなり高速である。さらに FWHT (Hadamard order) の方がビット反転演算が不要であるため, Walsh order よりも高速となる。

2.2 Haar 変換による処理

2.1 と同様にして, Haar 空間のフィルタ行列 G_{Ha} が式 (9) で得られる。

$$G_{Ha} = H_a^{-1} G_F F H_a = Q^* G_F Q \quad (9)$$

ただし $Q = F \cdot H_a^{-1}$ であり, Haar 行列では $H_a^{-1} = H_a$ である。8 次の Haar 関数の連続形と離散形を図 5 に示す。



$$Ha(8) = \frac{1}{\sqrt{8}} \begin{bmatrix} 1 & 1 & 1 & 1 & 1 & 1 & 1 & 1 \\ 1 & 1 & 1 & 1 & -1 & -1 & -1 & -1 \\ \sqrt{2} & \sqrt{2} & -\sqrt{2} & -\sqrt{2} & 0 & 0 & 0 & 0 \\ 0 & 0 & 0 & 0 & \sqrt{2} & \sqrt{2} & -\sqrt{2} & -\sqrt{2} \\ 2 & -2 & 0 & 0 & 0 & 0 & 0 & 0 \\ 0 & 0 & 2 & -2 & 0 & 0 & 0 & 0 \\ 0 & 0 & 0 & 0 & 2 & -2 & 0 & 0 \\ 0 & 0 & 0 & 0 & 0 & 0 & 0 & 2 & -2 \end{bmatrix}$$

Fig. 5. Continuous and discrete Haar functions, $N = 8$.

Haar 変換の計算については 2 種の高速アルゴリズム FHT (Fast Haar Transform) がある⁽⁴⁾。一つは $2(N-1)$ 回の乗算の加減算で済む Andrews のアルゴリズムであり、もう一つはさらに $\log_2 N$ 回のビット反転演算を必要とする Cooley-Tukey 形のアルゴリズムである。計算時間からみると Andrews のアルゴリズムが有利であるが、後者を使う場合は FFT, FWHT, FHT が 1 つのハードウェアプロセッサにより計算可能であるという利点がある。

以上の 3 種の直交変換の計算速度の比較のため、データ数 $N = 64 \sim 1024$ について計算時間を実現した例を図 6 に示す。ただし FHT は Andrews のアルゴリズムを用いた。これら 3 種の直交変換のうち、FHT が $2(N-1)$ 回の加減算で済むため最も高速であることがわかる。

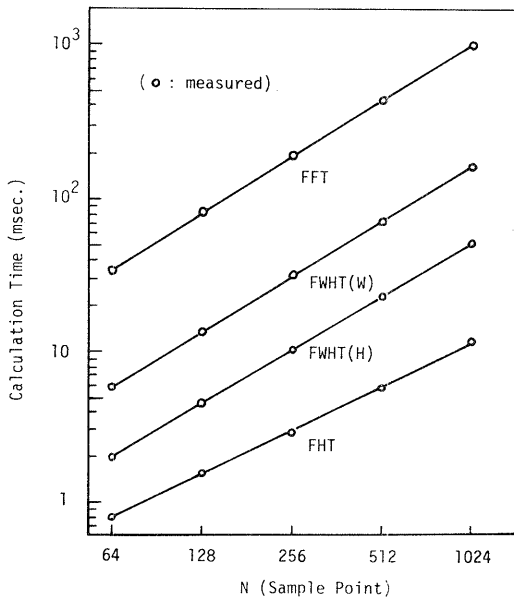


Fig. 6. Relationship between mean computing times and the number of sampled data for three orthogonal transforms.

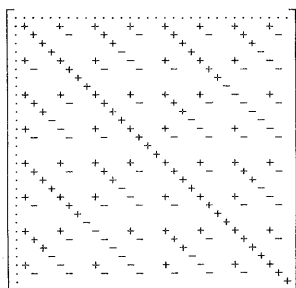
3. シミュレーション

ここでは実際に計算機によりシミュレーションを行ない、再合成像の質および処理速度の真を検討した結果について述べる。シミュレーションでは、計算機内で 64×64 の大きさの画像を発生し、それを等角度で回転してその射影を計算し、得られた射影を前記 3 種の直交変換を用いて処理を行ない、逆投影して再合成像を得るという方法を用いた。ただし、各空間でのフィルタ行列は、図 2 のフーリエ空間の関数形から式 (7), (9) を用いてあらかじめ求めておく。

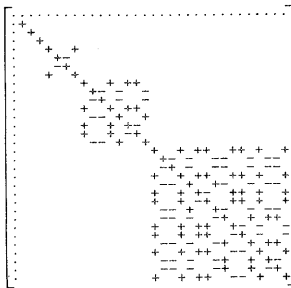
図 2 のフィルタを他の直交空間へ変換したフィルタ行列は前述した様に、主対角以外にも非零要素をもつ。 32×32 の行列の場合の各空間での行列を図 7 に示す。図 7 で空白および \cdot は零要素を示し、 $+$ は ± 1 を意味するのでなく、単に要素の符号を表わすだけである。図 7 から、Walsh-Hadamard 空間における行列は零要素が非常に多く、いわゆるスパーズ行列となっている。フィルタ処理は射影の直交変換ベクトルとこの行列との積を計算するため、計算速度の真からは行列の非零要素の数ができるだけ少ないフィルタの方が乗算回数が少ないため速い。しかし、これは再合成像の質も含めて判断しなければならぬ。これらの行列の非零要素の割合を表 1 に示す。 $64 \times 64 \sim 512 \times 512$ のサイズに対してフィルタ行列を計算した結果、この割合は表 1 に示す様にほとんど一定であった。

Table 1. Ratio of non-zero elements to total elements for three filter matrices.

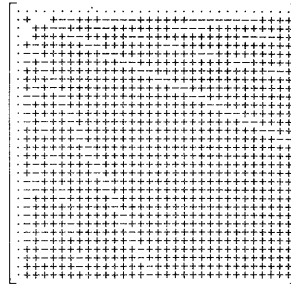
Orthogonal domain	Filter F-1	Filter F-2	Filter F-3
Walsh-Hadamard	0.166	0.166	0.084
Haar	0.935	0.731	0.356



(a) Walsh

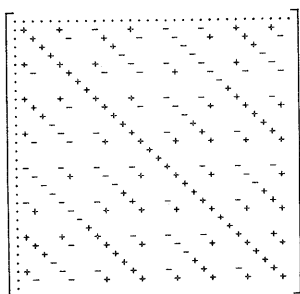


(b) Hadamard

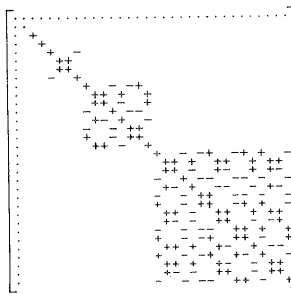


(c) Haar

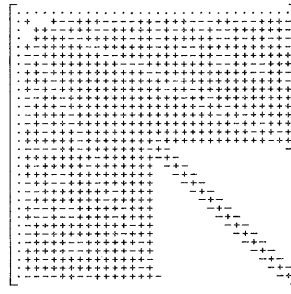
A: Filter F-1



(a) Walsh

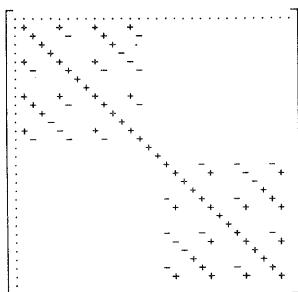


(b) Hadamard

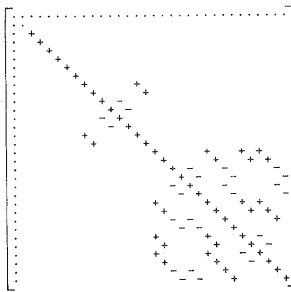


(c) Haar

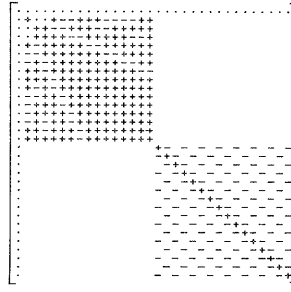
B: Filter F-2



(a) Walsh



(b) Hadamard



(c) Haar

C: Filter F-3

Fig. 7. Examples of Walsh-Hadamard and Haar domain filter matrices, $N^2 = 32 \times 32$. Blank and dot denote zero element, + and - denote sign of element.

3.1 計算時間の比較

両合成像を得るには、全射影に対して1度射影を直交変換し、フィルタ行列を乗じ逆変換し、それを逆投影する。計算時間の比較はフィルタ処理(変換

→行列の乗算→逆変換)の部分だけであり、逆投影の計算過程はすべての方法とも共通である。射影数30方向のときの測定値を図8に示す(計算は北海道大学大型計算機センターで行なっ

ト)。図8の 512x512 以上のサイズは表1の結果をもとにしてフィルタ処理の計算を行ない、時間を測定した結果である。フィルタ行列との乗算ではスパース行列の性質から、非零要素の値とその各々の位置番号および行方向の非零要素の数を記憶して、計算速度の向上を計った。

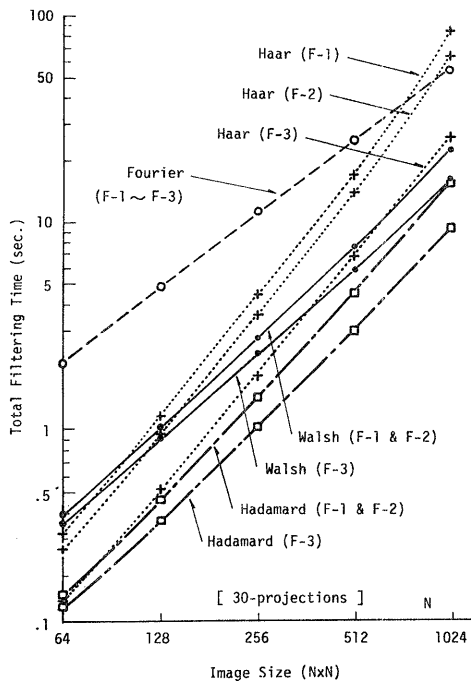


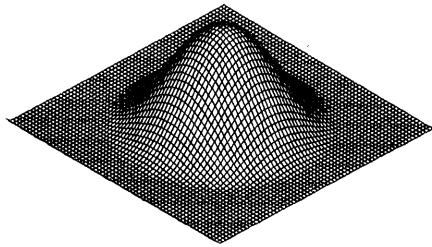
Fig. 8. Comparison of total filtering times for several image sizes and three orthogonal transforms. Frequency characteristics of filter F-1, F-2 and F-3 are shown in fig. 2.

図8から、フィルタF-1, F-2, F-3ともHadamard変換による処理が速く、その中でもF-3が最も速い。逆に、Haar変換による処理が図6の変換-逆変換のみの時間と比べて非常に遅くなっているのは、フィルタ行列の非零要素の数がWalsh-Hadamardフィルタに比べてかなり多く、フィルタ行列との乗算に時間がかかっているためである。

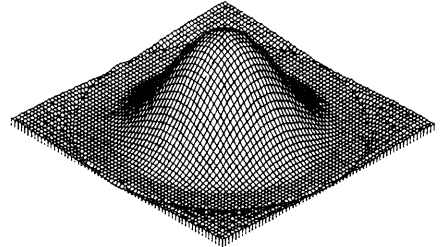
変換-逆変換だけの演算ではサンプル数を N とすると、簡単に考えるとFFTは $2N \log_2 N$ (複素数)回の乗算が必要なのに対して、FWHTでは $2N \log_2 N$ (実数)回の加減算、FHTでは $4(n-1)$ (実数)回の加減算で済むため、FHTが最も高速である。しかしながらフィルタ行列との乗算ではフーリエ変換では N (複素数)回の乗算で済むのに対し、他の2つは N^2 (N は表1の値である) (実数)回の乗算が必要である。コンボリューション法では N^2 回の乗算が必要であるから、コンボリューション法に比べると計算時間はFWHT, FHTの方が速い。このことからサンプル数 N が大きくなるにつれてFFTに比べて、Walsh-Hadamard, Haar変換による処理が不利になる(コンボリューション法も同じ)。このことは図8からも明らかである。しかしながら使用上の範囲である 1024×1024 程度までならば、Hadamardによる処理が最も高速であり、しかも変換が加減算で済むことを考えると本方法による処理が有利であると考える。

3.2 直交変換による再合成像の差

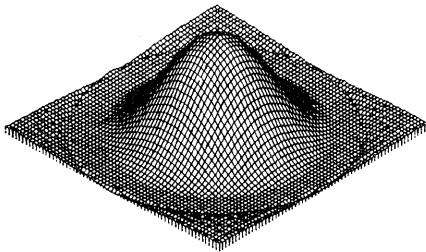
射影データを直交変換することは、フーリエではsine, cosine関数系、Walsh-Hadamardでは図3, 4, Haarでは図5の関数系で展開近似することであるから、次数(サンプル数)一定の場合、一般的に滑らかに変化する波形に対してはフーリエによる展開近似度が高く、逆に矩形波に近い様な波形に対してはWalsh-HadamardあるいはHaar関数系の方が近似度が高くなる。このことから、同一フィルタに対して直交変換により再合成像に差が出てくるかを検討した。非常に滑らかに変化する図形を使い、3種の直交変換(フーリエ, Walsh-Hadamard, Haar)を用いて再合成した結果を図9に示す。図9の原画像はその中心断面が $1 + \cos(\pi R)$ (R ; 半径)で表わされる画像であり、



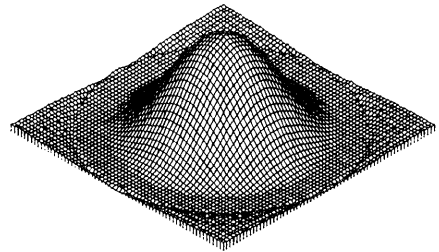
(a) Original image



(b) Fourier domain filtering



(c) Hadamard domain filtering



(d) Harr domain filtering

Fig. 9. Example of reconstructed images by Fourier, Hadamard and Haar domain filtering with same filter (F-2), $N^2 = 64 \times 64$. Projection number $N_\theta = 30$.

フーリエ関数による近似度が最もよく、他の直交関数による近似の方が悪くなると考えられる。図9では3種の処理による再合成像の間には差異は全く認められない。このことは式(7),(9)の関係によりフィルタ行列を求めた結果であり、ベクトルフィルタの効果である。画像のサイズを小さくした場合には差異が現われてくると考えられるが、 64×64 以下では実用上意味が無いであろう。

3.3 フィルタによる再合成像の差

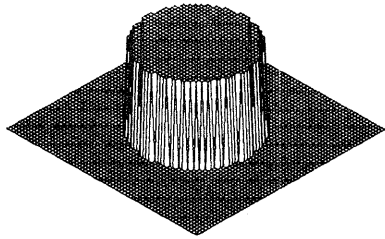
FBP法やコンボリューション法ではフィルタあるいは補正関数の形が再合成像の画質に大きな影響を及ぼす。フィルタによる再合成像の差異を調べるため、図2に示した3種のフィルタを用いてphantom imageの再合成を行なった結果を図10に示す。図10の射影数は 1° 毎に180方向であり、フィルタ処理にはHadamard変換を用いた。図10から、フィルタF-1がノイズが最も多く、以

下F-3, F-2の順に少なくなっているのが分かる。また、F-2を用いて射影数を30, 60, 90, 180と変化させたときの再合成像の変化を図11に示す。図11から射影数が少なくなると、円周方向のリプルが出てくるのが見られる。図11では見やすくするため、画像マトリクス(64×64)に内接する円の外側を黒にした。また、逆投影の計算では画素の各点の値を計算する場合、対応する射影長に一致しない時は一次近似を用いた。

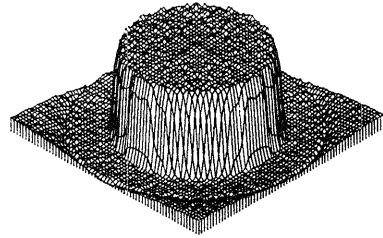
計算時間の点からは図8に示した様にF-3による処理が最も高速であるが幾分リプルがあり、画質が劣るが使用に耐えると考えている。

4. 結言

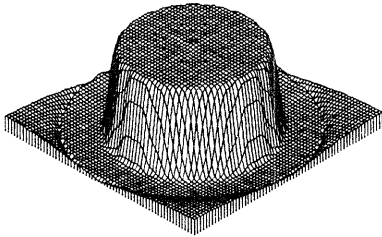
本論文ではFBP法による断層像合成をWalsh-Hadamard, Haarの2つの直交変換を用いて高速で計算する方法について検討し、その可能性を示した。



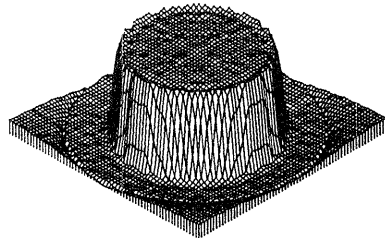
A: Original image



B: Reconstructed image
(Filter F-1; Ramachandran)

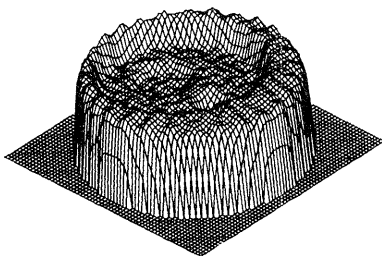


C: Reconstructed image
(Filter F-2; Chesler)

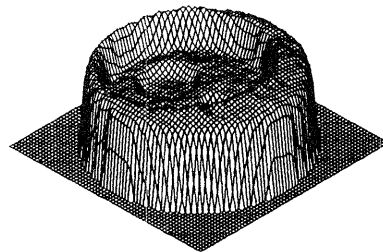


D: Reconstructed image
(Filter F-3)

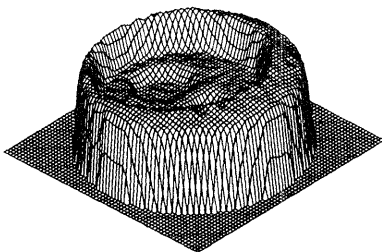
Fig. 10. Example of reconstructed images by three different filters (F-1, F-2 and F-3) with Hadamard domain filtering, image size $N^2 = 64 \times 64$. Projection number $N_\theta = 180$.



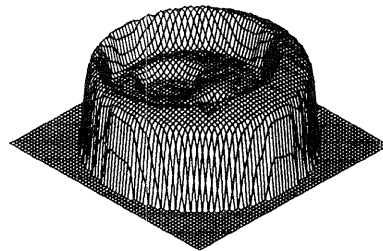
A: 30 projections



B: 60 projections



C: 90 projections



D: 180 projections

Fig. 11. Example of reconstructed images with 30, 60, 90 and 180 projections, image size $N^2 = 64 \times 64$. Hadamard domain filtering and filter function is F-2. Original image is shown in fig. 1.

さらにコンピュータ・シミュレーションにより高速計算の基から求めた新しいフィルタ関数を検討した。従来提案されている関数のうち2種類の関数 (Ramachandran, Chesler) を取り上げ、phantom imageを用いて比較を行ない、新しい関数が高速計算に適し、また画質は幾分劣るが画質に耐えることを確認した。

最後に、ここでは逆投影の計算過程を取り上げたが、この部分も非常に多くの計算量と計算時間を必要とする。本論文において述べたフィルタ処理の高速化とともに、逆投影の過程の時間短縮も大きな問題である。

本論文の計算は北海道大学大型計算機センター-夕谷相当研究所画像化処理装置を用いて行なった。

References

1. R. A. Brooks, G. Di Chiro: "Principles of Computer Assisted Tomography (CAT) in Radiographic and Radioisotopic Imaging", Phys. Med. Biol., 21, 5, p.689-732 (1976)
2. G. N. Ramachandran, A. V. Lakshminarayan: "Three-dimensional Reconstruction from Radiographs and Electron Micrographs: Application of Convolutions Instead of Fourier Transforms", Proc. Nat. Acad. Sci., U.S.A., 68, 9, p.2236-2240 (1971)
3. R. N. Bracewell, A. C. Riddle: "Inversion of Fan-Beam Scans in Radio Astronomy", The Astrophysical Journal, 150, p.427-434 (Nov. 1967)
4. R. A. Crowther, D. J. DeRosier and A. Klug: "The reconstruction of a three-dimensional structure from projections and its application to electron microscopy", Proc. Roy. Soc. Lond., A, 317, p.319-340 (1970)
5. Z. H. Cho, I. S. Ahn: "Computer Algorithm for the Tomographic Image Reconstruction with X-ray Transmission Scans", Computers and Biomedical Research, 8, p.8-25 (1975)
6. Z. H. Cho, J. K. Chan: "A Comparative Study of 3-D Image Reconstruction algorithms with Reference to Number of Projections and Noise Filtering", IEEE Trans., NS-22, p.344-358 (Feb. 1975)
7. R. M. Mersereau, A. V. Oppenheim: "Digital Reconstruction of Multidimensional Signals From Their Projections", Proc. IEEE, 62, 10, p.1319-1388 (Oct. 1974)
8. L. A. Shepp, B. F. Logan: "The Fourier Reconstruction of a Head Section", IEEE Trans., NS-21, p.21-43 (1974)
9. D. A. Chesler, S. J. Riederer: "Ripple Suppression during Reconstruction in Transverse Tomography", Phys. Med. Biol., 20, 4, p.632-636 (1975)
10. E. Tanaka, T. Iinuma: "Correction Functions for Optimizing the Reconstructed Image in Transverse Section Scan", Phys. Med. Biol., 20, 4, p.789-798 (1975)
11. Z. H. Cho, I. S. Ahn, C. Bohn: "Computerized image reconstruction method with photon/X-ray transmission scanning", Phys. Med. Biol., 19, p.511-522 (1974)
12. G. S. Robinson: "Logical Convolution and Discrete Walsh and Fourier Power Spectra", IEEE Trans., AU-20, 4, p.271-280 (Oct. 1972)
13. H. F. Harmuth: "Transmission of Information by Orthogonal Functions, 2nd ed", Springer-Verlag, Berlin-Heidelberg-New York, 1972
14. N. Ahmed, K. R. Rao: "Orthogonal Transforms for Digital Signal Processing", Springer-Verlag, Berlin-Heidelberg-New York, 1975
15. J. E. Shore: "On the Application of Haar Functions", IEEE Trans., Communications, p.209-216 (1973)
16. J. W. Manz: "A Sequency-Ordered Fast Walsh Transform", IEEE Trans., AU-20, 3, p.204-205 (Aug. 1972)
17. L. R. Rabiner, C. M. Rader: "Digital Signal Processing", IEEE Press, New York, 1972
18. B. Gold, C. M. Rader: "Digital Processing of Signals", McGraw-Hill, New York, 1969
19. Bede Liu: "Digital Filters and The Fast Fourier Transform", Dowden Hutchinson & Ross, Inc. Strousberg, Pennsylvania, 1976